

ДИФФУЗИЯ ЧАСТИЦ В ОДНОРОДНОМ ПСЕВДООЖИЖЕННОМ СЛОЕ

Ю. А. Буевич, О. В. Чубанов

(Москва)

Коэффициенты продольной и поперечной диффузии частиц вычислены при произвольном значении числа Рейнольдса, характеризующего обтекание частиц псевдоожигающей средой. Проведено сравнение с экспериментом.

Диффузия мелких взвешенных частиц в условиях однородного псевдоожигания при числе Рейнольдса частицы $R < 1$ была рассмотрена в [1,2]. Однако в большинстве случаев псевдоожиганные слои, встречающиеся на практике (в том числе и однородные), характеризуются значениями R , равными нескольким десяткам или даже сотням. В этих случаях взаимодействие псевдоожигающей среды с частицами нелинейно не только по концентрации слоя, но и по относительной скорости взвешивающего потока. Ниже предложено обобщение результатов [1,2] на псевдоожиганные слои сравнительно крупных частиц, когда R высоко. Слой предполагается однородным в том смысле, что в нем не образуются «пузыри», заполненные только псевдоожигающей средой, а также агрегаты, состоящие из большого числа частиц. Частицы в таком слое можно приближенно рассматривать как статистически независимые.

Используем ниже систему координат, в которой частицы в среднем покоятся, и направим ось x_1 вдоль средней относительной скорости взвешивающего потока u . Эту скорость, а также среднюю объемную концентрацию частиц в слое ρ считаем независимыми от координат и времени. В указанной системе координат тензор диффузии взвешенных частиц, обусловленной их случайными псевдотурбулентными пульсациями, диагонален, и его собственные значения можно представить в виде [1]

$$D_i = \frac{\pi}{2} \int \Psi_{w_i, w_i}(\omega, \mathbf{k}) d\mathbf{k} \quad (1)$$

где $\Psi_{w_i, w_i}(\omega, \mathbf{k})$ — диагональная компонента тензора спектральной плотности случайной скорости частиц w' , ω и \mathbf{k} — частота и волновой вектор пульсаций. Эта величина обычным образом выражается через спектральную меру dZ_w процесса w' , входящую в его представление в виде стохастического интеграла Фурье — Стильтьеса. Уравнения для dZ_w , а также для спектральных мер dZ_v , dZ_p , dZ_ρ пульсаций скорости v' и давления p' жидкости в промежутках между частицами и пульсаций концентрации ρ' получаются из стохастических уравнений для указанных пульсаций. В рассматриваемом случае эти уравнения отличаются от использованных в [1,2] только в том отношении, что изменяется выражение для спектральной меры dZ_F пульсации силы взаимодействия частиц с жидкостью F' .

Используя, как и в [1,2], результаты Эргана [3], для стационарной силы, действующей на частицы в единице объема невозмущенного слоя, имеем

$$F = d_0 \rho (\beta_1 K_1 + \beta_2 K_2 u) \mathbf{u} \quad (\rho \geq 0.2 - 0.3)$$

$$\beta_1 = \frac{75}{2} \frac{v_0}{a^2}, \quad \beta_2 = \frac{1.75}{2} \frac{1}{a}, \quad K_1 = K = \frac{\rho}{1-\rho},$$

$$K_2 = 1, \quad v_0 = \frac{\mu_0}{d_0} \quad (2)$$

где d_0, μ_0 — плотность и вязкость жидкости, a — радиус частиц. Соответствующее (2) выражение для dZ_F имеет вид

$$dZ_F = d_0 \rho [(\beta_1 K + \beta_2 u) dZ_u + \beta_2 (u_0 dZ_u) u + \beta_1 K' u dZ_\rho] - ik \rho dZ_p \quad (3)$$

$$dZ_u = dZ_v - dZ_w, \quad u_0 = \frac{u}{u}, \quad K' = \frac{dK}{d\rho}$$

(компоненты dZ_F , обусловленные различными нестационарными эффектами, можно здесь не учитывать, так как для определения D_i согласно (1) достаточно рассмотреть уравнения только при нулевой частоте $\omega = 0$). При $\beta_2 = 0$ выражения (2), (3) переходят в использованные в [2] при вычислении коэффициентов диффузии для мелких частиц ($R < 1$).

Уравнения для спектральных мер при $\omega = 0$ запишутся в форме [1,2]

$$uk dZ_\rho = (1 - \rho) kdZ_v, \quad dZ_F = 0$$

$$i d_0 (1 - \rho) (uk) dZ_v = - ik dZ_p - \mu_0 S [k^2 dZ_v - 1/3 k (kdZ_0)] \quad (4)$$

Здесь $S = S(\rho)$ — функция, учитывающая отклонение эффективной вязкости жидкости, фильтрующейся через зернистую насадку, от μ_0 (эта функция вводилась также и в [1]).

Из (3) и (4) имеем выражение для dZ_w

$$dZ_w = \frac{dZ_\rho}{\beta_1 K + \beta_2 u (1 + \delta_{1j})} \left\{ \beta_1 K' u_j + \frac{u}{1 - \rho} \frac{k_1 k_j}{k^2} [\beta_1 K + \beta_2 u (1 + \delta_{1j}) + 4/3 v_0 S k^2 + i (1 - \rho) u k_1] \right\} \quad (5)$$

Отсюда следуют представления для диагональных компонент тензора спектральной плотности случайного вектора w' , справедливые при $\omega = 0$

$$\Psi_{w_1, w_1}(0, \mathbf{k}) = \frac{1}{\varepsilon^2} \left(1 + \frac{3.5}{150} \frac{R}{\rho} \right)^{-2} \left\{ \left[\frac{d \ln K}{d\rho} + \frac{k_1^2}{\varepsilon k^2} \times \right. \right. \\ \left. \left. \times \left(1 + \frac{3.5}{150} \frac{R}{\rho} + \frac{8}{225} \frac{\varepsilon S}{\rho} a k \right)^2 \right]^2 + \left(\frac{1}{75} \frac{a k_1^3}{k^2} \frac{R}{\rho} \right)^2 \right\} \Psi_{\rho, \rho}(0, \mathbf{k}) \quad (6)$$

$$\Psi_{w_j, w_j}(0, \mathbf{k}) = \frac{1}{\varepsilon^2} \left(1 + \frac{1.75}{150} \frac{R}{\rho} \right)^{-2} \left[\left(1 + \frac{1.75}{150} \frac{R}{\rho} + \right. \right. \\ \left. \left. + \frac{8}{225} \frac{\varepsilon S}{\rho} (a k)^2 \right)^2 + \left(\frac{1}{75} \frac{a k_1 \varepsilon R}{\rho} \right)^2 \right] \frac{k_1^2 k_j^2}{\varepsilon^2 k^4} \Psi_{\rho, \rho}(0, \mathbf{k}) \quad (j = 2, 3)$$

$$\varepsilon = 1 - \rho, \quad Q = \varepsilon u, \quad R = 2a Q v_0^{-1}$$

Здесь введены средняя пористость слоя ε , скорость фильтрации (объемный расход) жидкости Q и число Рейнольдса R .

Функция $S(\rho)$ при больших R неизвестна; однако, как было показано в [1], она весьма слабо влияет на коэффициенты диффузии. Пренебрегая этой функцией, а также относительно малыми последними членами в скобках в (6), получим приближенно

$$\Psi_{w_1, w_1}(0, \mathbf{k}) \approx \frac{1}{\varepsilon^2} \left(1 + \frac{3.5}{150} \frac{R}{\rho} \right)^{-2} \left[\frac{d \ln K}{d\rho} + \frac{k_1^2}{\varepsilon k^2} \left(1 + \frac{3.5}{150} \frac{R}{\rho} \right) \right]^2 \times \\ \times Q^2 \Psi_{\rho, \rho}(0, \mathbf{k}), \quad \Psi_{w_j, w_j}(0, \mathbf{k}) \approx \frac{1}{\varepsilon^4} \frac{k_1^2 k_j^2}{k^4} Q^2 \Psi_{\rho, \rho}(0, \mathbf{k}) \quad (j = 2, 3) \quad (7)$$

Для спектральной плотности величины ρ' используем выражение, полученное в [4]. Тогда

$$\Psi_{\rho, \rho}^*(0, \mathbf{k}) = \frac{\Phi_{\rho, \rho}(\mathbf{k})}{\pi D \mathbf{k} \mathbf{k}}, \quad \Phi_{\rho, \rho}(\mathbf{k}) = \frac{\Phi}{k_0^3} Y(k_0 - k) \quad (8)$$

$$\Phi = \frac{3}{4\pi} \rho^3 \left(1 - \frac{\rho}{\rho_*}\right), \quad k_0^3 = \frac{9\pi\rho}{2} \frac{1}{a^3}$$

где $Y(x)$ — функция Хэвисайда, а ρ_* — концентрация слоя частиц в плотноупакованном состоянии.

Вычисляя, из (1), (7) и (8) получаем уравнения

$$D_1 D_2 = \frac{2\pi\Phi}{k_0^2} \frac{\gamma^2 Q^2}{\varepsilon^4} (\alpha^2 J_0 + 2\alpha J_2 + J_4) \quad (9)$$

$$D_2^2 = \frac{\pi\Phi}{k_0^2} \frac{\gamma^2 Q^2}{\varepsilon^4} (J_2 - J_4), \quad J_n = \int_0^1 \frac{t^n dt}{t^2 + \gamma^2}, \quad D_3 \equiv D_2$$

Здесь введены безразмерные параметры

$$\alpha = \varepsilon \frac{d \ln K}{d\rho} \left(1 + \frac{3.5}{150} \frac{R}{\rho}\right)^{-1} = \frac{1}{\rho + 0.233R}, \quad \gamma = \left(\frac{D_2}{D_1 - D_2}\right)^{1/2} \quad (10)$$

Из уравнений (9) получаем трансцендентное уравнение для γ и выражения D_1 , D_2 и D_3 через единственный положительный корень этого уравнения

$$2\gamma^2 (\alpha^2 J_0 + 2\alpha J_2 + J_4) = (1 + \gamma^2) (J_2 - J_4)$$

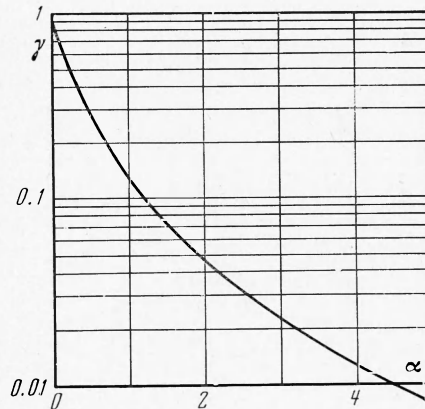
$$D_j = D_j^0 \alpha Q \quad (j = 1, 2, 3), \quad D_2^0 \equiv D_3^0 = N_D D_1^0 \quad (11)$$

$$D_1^0 = 0.358 \frac{\rho^{2/3}}{(1-\rho)^2} \left(1 - \frac{\rho}{\rho_*}\right)^{1/2} \frac{1 + \gamma^2}{\gamma} (J_2 - J_4)^{1/2}$$

При $R = 0$ эти уравнения обращаются в рассмотренные в [1,2].

Отметим, что соотношения (11) описывают диффузию частиц не только в псевдооживленном слое, но и вообще в течениях суспензий как мелких, так и крупных частиц, если только пространственный и временной масштабы среднего течения значительно превышают соответствующие масштабы псевдотурбулентных пульсаций.

Решение первого уравнения (11) как функция параметра α из (10) представлено на фиг. 1. На фиг. 2 и фиг. 3 показаны зависимости N_D и D_1^0 от ρ при $\rho_* = 0.60$ и разных R (кривые 1—9 на фиг. 2 и фиг. 3 построены при значениях R , равных $\infty, 200, 100, 80, 60, 40, 20, 10$ и 0 соответственно).



Фиг. 1

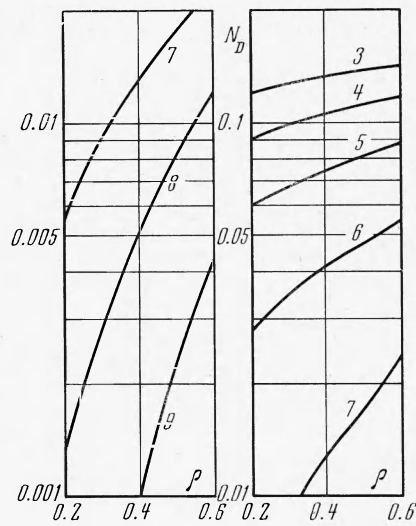
Видно, что псевдотурбулентная диффузия частиц при малых R резко анизотропна (N_D мало), как это было отмечено еще в [1]. Однако величина N_D быстро возрастает с увеличением R ; так, при $R = 200$ и $R \rightarrow \infty$ она практически не зависит от ρ и равна 0.226 и 0.420 соответственно. Таким образом, в однородном псевдооживленном слое достаточно крупных частиц продольная диффузия лишь в 2.5—5 раз интенсивнее по-

перечной. С увеличением R в интервале (0.20) максимум зависимости $\bar{D}_1^0 = D_1^0(\rho)$ быстро сдвигается в сторону более высоких ρ ; если $R \geq 50$, этот максимум достигается при $\rho \approx 0.5$ (напомним, что в расчетах было использовано $\rho_* = 0.60$; при других ρ_* положение максимума может, конечно, изменяться).

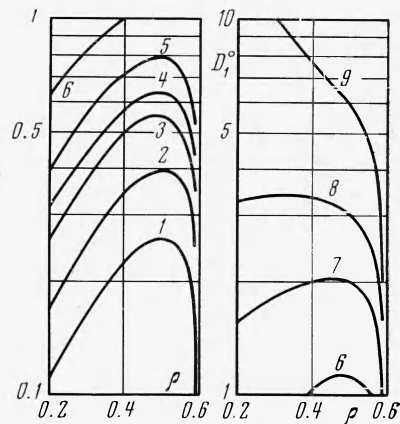
Пусть в момент перехода слоя в псевдооживленное состояние слой характеризуется значением $R = R_*$. По мере увеличения расхода Q концентрация ρ монотонно убывает, а параметр R линейно растет. В результате разным состояниям слоя одних и тех же частиц, псевдооживленных одной и той же жидкостью, будут соответствовать точки на разных кривых на фиг. 2 и фиг. 3. В связи с этим представляет интерес построение зависимостей $N_D(\rho)$, $D_1^0(\rho)$ не только при фиксированных R , но и для различных конкретных слоев.

В литературе имеется большое число косвенных выводов о диффузии частиц, как это уже обсуждалось в [1], развиваемая теория в целом согласуется с этими выводами. Однако систематических и в какой-то мере исчерпывающих исследований псевдооживленной турбулентной диффузии, которые позволили бы осуществить количественную проверку теории, очень мало. Ниже рассмотрены опыты Карлоса и Ричардсона [5], в которых

определялись, в частности, коэффициенты продольной диффузии частиц в однородном слое стеклянных сфер диаметром ~ 0.9 см, псевдооживленных диметилфталатом (вязкость 0.1 пз).



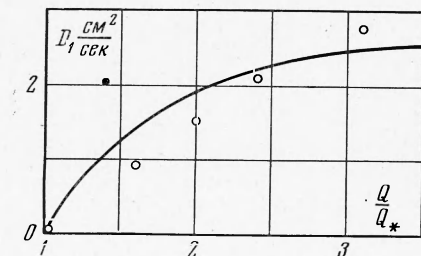
Фиг. 2



Фиг. 3

В [5] исследовали динамику расплывания тонкого горизонтального слоя меченых сфер, вводимого в неподвижную насадку, которую затем псевдооживляли. Коэффициент D_1 определяли из сравнения измеренных профилей концентрации меченых сфер в разные моменты времени с решениями уравнения Фика, соответствующими различным

D_1 . Против такого метода можно выдвинуть по крайней мере два серьезных возражения. Во-первых, при достаточно малых временах диффузия описывается не уравнением Фика, а более сложным уравнением гиперболического типа [4]. Во-вторых, и это особенно существенно, в условиях опытов [5] имелась интенсивная циркуляция взвешенного материала в слое, так что расплывание меченых частиц было вызвано не столько собственно диффузией, сколько конвективным переносом частиц (для сравнения укажем, что средняя скорость восходящего движения частиц в центральной области слоя W_1 была равна 1–4 см/сек, в то время как скорость фильтрации Q_* в начале псевдооживления составляла всего 4.8 см/сек).



Фиг. 4

Наличие восходящего течения частиц в центре слоя и нисходящего у стенок в условиях псевдооживления, близких к таковым в [5], легко усматривается из фотографий расплывания меченых частиц в слое, приведенных в работе [6]. Важная роль конвективного переноса частиц циркуляционными вторичными течениями подчеркивается

также в [7]. Из сказанного следует, что значения \bar{D}_1 , полученные в [5] указанным методом, существенно завышены и не могут быть использованы для характеристики собственно диффузии частиц.

Кроме того, в [5] определяли составляющую $\langle(\Delta x_1)^2\rangle$ среднего квадрата вертикального смещения частиц за время Δt , обусловленную пульсациями частиц. Как и следовало ожидать, эта величина оказалась пропорциональной Δt , что позволило определить истинный коэффициент диффузии D_1 из формулы Эйнштейна

$$\langle(\Delta x_1)^2\rangle = 2D_1\Delta t \quad (12)$$

Если при усреднении используется траектория единственной выделенной частицы, то эта формула справедлива лишь в случае, когда Δt намного превышает временной масштаб пульсаций. Если усреднение проводится по многим частицам (т. е. фактически по ансамблю), как, по-видимому, это было сделано в [5], то формула (12) справедлива при любых Δt . Значения D_1 , определенные согласно (12) в опытах [5], показаны светлыми кружками на фиг. 4.

Характерный масштаб ΔT времени измерения в [5] составлял 10 сек. Конвективное смещение частицы за это время $X_c \approx W_1\Delta T \sim 10-40$ см, в то время как соответствующее среднеквадратичное смещение, обусловленное диффузией, $X_d \approx \sqrt{2D_1\Delta T} \sim 1-5$ см, что значительно меньше X_c . Из этой оценки ясно видна неадекватность первого метода определения \bar{D}_1 в работе [5].

Плотнупакованное состояние слоя в экспериментах [5] соответствовало простой кубической укладке, так что $\rho_* = 0.524$ (это значение легко получить пересчетом значений Q и ρ , приведенных в [1], к начальному псевдоожигенному состоянию, когда $Q = Q_*$). Число Рейнольдса изменялось от 50 до 160 при изменении Q/Q_* от 1 до ~ 3.1 . Теоретическая зависимость для \bar{D}_1 , подсчитанная из (11) для указанных значений ρ_* и R , также приведена на фиг. 4. Учитывая сложность самой теории и многочисленные трудности, возникающие при постановке тонких экспериментов с псевдоожигенным слоем, и, особенно, при их интерпретации, соответствие между теоретическими и опытными данными можно считать вполне удовлетворительным. Заметим, что общий характер кривой на фиг. 4 подтверждается также данными, приведенными в [6]. Несколько значений D_1 были получены и в работе [7], в которой исследовали модельный «двумерный» слой полых шаров диаметром 3.5 см, псевдоожигенных воздухом, что соответствовало весьма высоким значениям R . К сожалению, в [7] не приводится всех данных, необходимых для полной оценки полученных там результатов и, в частности, для сравнения с теорией. Однако ясно, что зависимость D_1 от Q/Q_* должна в этом случае идти значительно выше кривой на фиг. 4. Для иллюстрации на фиг. 4 темным кружком отмечена одна из экспериментальных точек [7].

Дальнейшее сопоставление теории с экспериментом и, возможно, ее некоторая коррекция в настоящее время затруднены в связи с отсутствием других достаточно надежных экспериментальных данных по диффузии частиц в дисперсных системах.

Поступила 22 VI 1971

ЛИТЕРАТУРА

1. Б у е в и ч Ю. А., М а р к о в В. Г. Псевдотурбулентная диффузия частиц в однородных суспензиях. ПМТФ, 1970, № 1.
2. Б у е в и ч Ю. А. Локальные пульсации и взаимодействие фаз в суспензиях мелких частиц. ПМТФ, 1971, № 4.
3. E r g u n S. Fluid flow through packed columns. Chem. Engng. Progr., 1952, vol. 48, No. 2.
4. Б у е в и ч Ю. А. Спектральная теория концентрации дисперсных систем. ПМТФ, 1970, № 6.
5. C a r l o s C. R., R i c h a r d s o n J. F. Solid movement in liquid fluidised beds. I. Particle velocity distribution. II. Measurements of axial mixing coefficients. Chem. Engng. Sci., 1968, vol. 23, No. 8.
6. R o w e P. N., P a r t r i d g e B. A., C h e n e y A. G., H e n w o o d G. A., L y a l l E. The mechanisms of solid mixing in fluidised beds. Trans. Inst. Chem. Engrs London, 1965, vol. 43, No. 9.
7. Г о д е с О. М., Б о н д а р е в а А. К., Г р и н б а у м М. Б. Движение и перемешивание частиц твердой фазы в псевдоожигенном слое. Хим. пром-сть, 1966, № 6.